

Méthode particulière préservant l'asymptotique près de la quasi-neutralité pour le système de Vlasov-Maxwell

David Doyen, Pierre Degond, Fabrice Deluzet et Giacomo Dimarco

Institut de Mathématiques de Toulouse

Modèle de Vlasov-Maxwell

- Modèle décrivant l'évolution de particules chargées dans le champ électromagnétique engendré par les particules elles-mêmes. Pour simplifier, on suppose que les ions sont fixes et forment un fond uniforme de charge ρ_0 .

- La fonction de distribution des électrons f satisfait l'équation de Vlasov :

$$\partial_t f + v \cdot \nabla_x f - \frac{e}{m} (E + v \times B) \cdot \nabla_v f = 0.$$

- Le courant et la charge créés par les particules sont

$$J = -e \int_{\mathbb{R}^d} f(x, v, t) v \, dv \quad \text{et} \quad \rho = \rho_0 - e \int_{\mathbb{R}^d} f(x, v, t) \, dv.$$

- Les champs magnétique et électrique satisfont les équations de Maxwell (avec les sources créées par les particules) :

$$\frac{1}{c^2} \partial_t E - \nabla \times B = -\mu_0 J,$$

$$\partial_t B + \nabla \times E = 0,$$

$$\nabla \cdot E = \frac{\rho}{\epsilon_0},$$

$$\nabla \cdot B = 0.$$

Limite quasi-neutre

- La force de Coulomb qui s'exerce entre les particules tend à restaurer la neutralité de la charge. Ce phénomène introduit une longueur caractéristique de séparation de la charge, la **longueur de Debye**, et une période caractéristique d'oscillation de la charge, la **période plasma**.

- La longueur de Debye et la période plasma sont définies ainsi :

$$\lambda_D = \sqrt{\frac{\epsilon_0 k_B T_0}{e^2 n_0}}, \quad \tau_p = \sqrt{\frac{m \epsilon_0}{e^2 n_0}},$$

où T_0 est la température caractéristique du plasma et n_0 est la densité caractéristique du plasma.

- Quand ces grandeurs caractéristiques sont beaucoup plus petites que les échelles d'espace et de temps du problème, le plasma est dit **quasi-neutre**.
- D'un point de vue mathématique, les modèles de plasmas changent de nature à la limite quasi-neutre, il s'agit d'une limite singulière.

Schémas préservant l'asymptotique

Comment traiter les problèmes où coexistent des zones proches de la quasi-neutralité et d'autres qui en sont éloignées ?

Option 1 : Deux discrétisations (une pour la zone quasi-neutre, une pour le reste du domaine) couplées à travers une interface.

Option 2 : Une **discrétisation préservant l'asymptotique**.

- P1. Pour une longueur de Debye et une période plasma fixées, elle est consistante avec le modèle de plasma standard quand les paramètres de discrétisation tendent vers zéro.
- P2. Elle est stable indépendamment de la longueur de Debye et de la période plasma.
- P3. Pour des paramètres de discrétisation fixés, elle est consistante avec le modèle quasi-neutre quand la longueur de Debye et la période plasma tendent vers zéro.

Approche déjà appliquée à d'autres modèles :

- Euler-Poisson, Euler-Maxwell,
- Vlasov-Poisson (particulaire et semi-lagrangien).

Plan de l'exposé

- 1 Limite quasi-neutre
- 2 Schéma en temps
- 3 Loi de Gauss
- 4 Simulations numériques
- 5 Perspectives

- 1 Limite quasi-neutre
- 2 Schéma en temps
- 3 Loi de Gauss
- 4 Simulations numériques
- 5 Perspectives

Adimensionnement des équations de Vlasov-Maxwell (1/2)

On introduit des paramètres sans dimension :

$$\lambda = \frac{\lambda_D}{x_0}, \quad \eta_1 = \frac{ex_0 E_0}{mv_0^2}, \quad \eta_2 = \frac{ex_0 E_0}{k_B T_0}, \quad \alpha = \frac{v_0}{c}, \quad \beta = \sqrt{\frac{v_0 B_0}{E_0}}.$$

Avec ces paramètres, le système de Vlasov-Maxwell adimensionné s'écrit :

$$\partial_t f + v \cdot \nabla_x f - \eta_1 (E + \beta^2 v \times B) \cdot \nabla_v f = 0$$

$$\lambda^2 \eta_2 (\alpha^2 \frac{\partial E}{\partial t} - \beta^2 \nabla \times B) = -\alpha^2 J,$$

$$\beta^2 \partial_t B + \nabla \times E = 0,$$

$$\lambda^2 \eta_2 \nabla \cdot E = 1 - n,$$

$$\nabla \cdot B = 0.$$

Adimensionnement des équations de Vlasov-Maxwell (2/2)

On fait les hypothèses suivantes sur les paramètres :

$$\eta_1 = 1, \quad \eta_2 = 1, \quad \alpha = \lambda, \quad \beta = 1.$$

Le système de Vlasov-Maxwell adimensionné devient alors :

$$\partial_t f + v \cdot \nabla_x f - (E + v \times B) \cdot \nabla_v f = 0,$$

$$\lambda^2 \partial_t E - \nabla \times B = -J,$$

$$\partial_t B + \nabla \times E = 0,$$

$$\lambda^2 \nabla \cdot E = 1 - n,$$

$$\nabla \cdot B = 0.$$

Limite quasi-neutre des équations de Vlasov-Maxwell (1/2)

$$\partial_t f + v \cdot \nabla_x f - (E + v \times B) \cdot \nabla_v f = 0,$$

$$\lambda^2 \partial_t E - \nabla \times B = -J,$$

$$\partial_t B + \nabla \times E = 0,$$

$$\lambda^2 \nabla \cdot E = 1 - n,$$

$$\nabla \cdot B = 0.$$

Quand on fait tendre λ vers 0 (limite quasi-neutre), on obtient formellement :

$$\partial_t f + v \cdot \nabla_x f - (E + v \times B) \cdot \nabla_v f = 0,$$

$$\nabla \times B = J,$$

$$\partial_t B + \nabla \times E = 0,$$

$$n = 1,$$

$$\nabla \cdot B = 0.$$

Limite quasi-neutre des équations de Vlasov-Maxwell (2/2)

On reformule le modèle quasi-neutre :

$$\partial_t f + v \cdot \nabla_x f - (E + v \times B) \cdot \nabla_v f = 0$$

$$E + \nabla \times (\nabla \times E) = J \times B - \nabla \cdot S,$$

$$\partial_t B + \nabla \times E = 0,$$

$$n = 1,$$

$$\nabla \cdot B = 0,$$

où S , le tenseur de pression cinétique, est défini comme

$$S = \int_{\mathbb{R}^d} f(x, v, t) v \otimes v \, dv.$$

- 1 Limite quasi-neutre
- 2 Schéma en temps
- 3 Loi de Gauss
- 4 Simulations numériques
- 5 Perspectives

Notations

- L'intervalle de temps est discrétisé avec un pas de temps Δt . On pose $t^m := m\Delta t$.
- La fonction de distribution est approchée par une collection de N particules. Les vecteurs position et vitesse au temps t^m sont notés X_N^m et V_N^m . La position et la vitesse de la j ème particule sont notées $X_{N,j}^m$ et $V_{N,j}^m$.
- Les champs sont discrétisés par différences finies. Le champ électrique, le champ magnétique, la densité d'électrons et le courant au temps t^m sont notés E_h^m , B_h^m , n_h^m et J_h^m .
- La densité, le courant et le tenseur de pression cinétique calculés à partir des particules de position X_N et de vitesse V_N sont notés $n_h(X_N)$, $J_h(X_N, V_N)$ et $S_h(X_N, V_N)$.
- Les valeurs des champs E_h^m et B_h^m au point $X_{N,j}$ sont notées $E_h^m(X_{N,j})$ et $B_h^m(X_{N,j})$.
- Opérateurs vectoriels discrets : ∇_h , Δ_h , $\nabla_h \cdot$, $\nabla_h \times$, etc...

Schéma explicite classique

Les champs sont calculés avec une discrétisation explicite (leap-frog) :

$$\lambda^2 \frac{E_h^{m+1} - E_h^m}{\Delta t} - \nabla_h \times B_h^m = -J_h(X_N^m, V_N^m),$$

$$\frac{B_h^{m+1} - B_h^m}{\Delta t} + \nabla_h \times E_h^{m+1} = 0.$$

Les particules sont avancées avec un schéma explicite (leap-frog) :

$$\frac{X_{N,j}^{m+1} - X_{N,j}^m}{\Delta t} = V_{N,j}^{m+1},$$

$$\frac{V_{N,j}^{m+1} - V_{N,j}^m}{\Delta t} = -E_h^m(X_{N,j}^m) - \frac{V_{N,j}^m + V_{N,j}^{m+1}}{2} \times B_h^m(X_{N,j}^m).$$

Conditions de stabilité :

- Le pas de temps doit être plus petit que la période plasma : $\Delta t < 2\tau_p$.
- Le pas d'espace doit être plus petit que la longueur de Debye $\Delta x < \zeta \lambda_D$.
- Condition CFL pour les particules : $v_{th} \frac{\Delta t}{\Delta x} < 1$.
- Condition CFL pour les ondes EM : $c \frac{\Delta t}{\Delta x} < 1$.

Un schéma préservant l'asymptotique (1/4)

Le courant est prédit en utilisant une discrétisation de l'équation suivante :

$$\partial_t J - \nabla \cdot S - nE + J \times B = 0.$$

Il est essentiel d'impliciter le champ électrique. Les autres quantités peuvent être gardées explicites.

$$\frac{J_h^{m+1} - J_h(X_N^m, V_N^m)}{\Delta t} - \nabla_h \cdot S_h(X_N^m, V_N^m) - n_h(X_N^m) E_h^{m+1} + J_h(X_N^m, V_N^m) \times B_h^m = 0.$$

Les équations de Maxwell sont discrétisées de façon implicite et on utilise le courant prédit J_h^{m+1} :

$$\lambda^2 \frac{E_h^{m+1} - E_h^m}{\Delta t} - \nabla_h \times B_h^{m+1} = -J_h^{m+1},$$

$$\frac{B_h^{m+1} - B_h^m}{\Delta t} + \nabla_h \times E_h^{m+1} = 0.$$

Finalement, en éliminant J_h^{m+1} , on obtient un système linéaire pour E_h^{m+1} et B_h^{m+1} :

$$\frac{\lambda^2}{\Delta t^2} (E_h^{m+1} - E_h^m) + n_h(X_N^m) E_h^{m+1} - \frac{\nabla_h \times B_h^{m+1}}{\Delta t} = -\frac{J_h(X_N^m, V_N^m)}{\Delta t} - \nabla_h \cdot S_h(X_N^m, V_N^m) + J_h(X_N^m, V_N^m) \times B_h^m$$

$$\frac{B_h^{m+1} - B_h^m}{\Delta t} + \nabla_h \times E_h^{m+1} = 0.$$

Un schéma préservant l'asymptotique (2/4)

Finalement, les particules sont avancées avec les champs prédits E_h^{m+1} et B_h^{m+1} :

$$\frac{X_{N,j}^{m+1} - X_{N,j}^m}{\Delta t} = V_{N,j}^{m+1},$$
$$\frac{V_{N,j}^{m+1} - V_{N,j}^m}{\Delta t} = -E_h^{m+1}(X_{N,j}^m) - \frac{V_{N,j}^m + V_{N,j}^{m+1}}{2} \times B_h^{m+1}(X_{N,j}^m).$$

Un schéma préservant l'asymptotique (3/4)

- P1. Pour une longueur de Debye et une période plasma fixées, elle est consistante avec le modèle de plasma standard quand les paramètres de discrétisation tendent vers zéro.
→ ok

- P2. Elle est stable indépendamment de la longueur de Debye et de la période plasma.
→ ok (il ne reste que la condition CFL sur la vitesse des particules)

Un schéma préservant l'asymptotique (4/4)

P3. Pour des paramètres de discrétisation fixés, elle est consistante avec le modèle quasi-neutre quand la longueur de Debye et la période plasma tendent vers zéro.

→ ok

Si l'on élimine B_h^{m+1} dans le système linéaire satisfait par E_h^{m+1} et B_h^{m+1} , on trouve :

$$\frac{\lambda^2}{\Delta t^2} (E_h^{m+1} - E_h^m) + n_h(X_N^m) E_h^{m+1} + \nabla_h \times \nabla_h \times E_h^{m+1} =$$

$$\frac{\nabla_h \times B_h^{m+1} - J_h(X_N^m, V_N^m)}{\Delta t} - \nabla_h \cdot S_h(X_N^m, V_N^m) + J_h(X_N^m, V_N^m) \times B_h^m$$

Pour des paramètres de discrétisation fixés, quand $\lambda \rightarrow 0$, l'équation ci-dessus devient

$$E_h^{m+1} + \nabla_h \times \nabla_h \times E_h^{m+1} \approx J_h(X_N^m, V_N^m) \times B_h^m - \nabla_h \cdot S_h(X_N^m, V_N^m),$$

ce qui est consistant avec le modèle quasi-neutre

$$E + \nabla \times (\nabla \times E) = J \times B - \nabla \cdot S.$$

- 1 Limite quasi-neutre
- 2 Schéma en temps
- 3 Loi de Gauss**
- 4 Simulations numériques
- 5 Perspectives

Loi de Gauss

- Dans la discrétisation des équations Maxwell, généralement, on n'impose pas d'équivalent discret de la loi de Gauss :

$$\lambda^2 \partial_t \mathbf{E} - \nabla \times \mathbf{B} = -\mathbf{J},$$

$$\partial_t \mathbf{B} + \nabla \times \mathbf{E} = 0,$$

$$\lambda^2 \nabla \cdot \mathbf{E} = 1 - n,$$

$$\nabla \cdot \mathbf{B} = 0.$$

- Celle-ci est cependant vérifiée sous certaines conditions :
 - ▶ bonnes propriétés des opérateurs discrets,
 - ▶ sources vérifiant l'équation de conservation de la charge.
- Avec les méthodes particulières, les sources ne vérifient pas l'équation de conservation de la charge. Pour satisfaire la loi de Gauss, on a généralement recours à une correction du champ électrique.

Correction elliptique standard (correction de Boris)

- **Principe** : On corrige la partie longitudinale du champ électrique de sorte à assurer la loi de Gauss.

$$\begin{aligned}\tilde{E}_h^{m+1} &= E_h^{m+1} - \nabla_h p_h, \\ \lambda^2 \nabla_h \cdot \tilde{E}_h^{m+1} &= 1 - n_h(X_N^{m+1}).\end{aligned}$$

- En pratique, on résout

$$-\lambda^2 \Delta_h p_h = 1 - n_h(X_N^{m+1}) - \lambda^2 \nabla_h \cdot E_h^{m+1},$$

puis

$$\tilde{E}_h^{m+1} = E_h^{m+1} - \nabla_h p_h.$$

- Cette correction ne préserve pas l'asymptotique.

Une correction elliptique préservant l'asymptotique

- On corrige de la façon suivante :

$$\begin{aligned}\tilde{E}_h^{m+1} &= E_h^{m+1} - \nabla_h p_h, \\ \lambda^2 \nabla_h \cdot \tilde{E}_h^{m+1} &= 1 - \tilde{n}_h^{m+1},\end{aligned}$$

où \tilde{n}_h^{m+1} est une prédiction de la densité. Cette densité est prédite en utilisant :

$$\begin{aligned}\frac{\tilde{n}_h^{m+1} - n_h(X_N^m)}{\Delta t} - \nabla_h \cdot \tilde{J}_h^{m1} &= 0, \\ \frac{\tilde{J}_h^{m+1} - J_h(X_N^m, V_N^m)}{\Delta t} - \nabla_h \cdot S_h(X_N^m, V_N^m) - n_h(X_N^m) \tilde{E}_h^{m+1} + J_h(X_N^m, V_N^m) \times B_h^m &= 0.\end{aligned}$$

- En pratique, on résout

$$-\nabla_h \cdot \left(\left(\frac{\lambda^2}{\Delta t^2} + n_h(X_N^m) \right) \nabla_h p_h \right) = \frac{1 - n_h(X_N^m)}{\Delta t^2} - \frac{\lambda^2}{\Delta t^2} \nabla_h \cdot E_h^{m+1},$$

puis

$$\tilde{E}_h^{m+1} = E_h^{m+1} - \nabla_h p_h.$$

- Cette correction préserve l'asymptotique.

- 1 Limite quasi-neutre
- 2 Schéma en temps
- 3 Loi de Gauss
- 4 Simulations numériques**
- 5 Perspectives

Expansion d'un plasma

- Vlasov-Poisson, schéma préservant l'asymptotique
- 1D en espace
- deux espèces (électrons et ions)

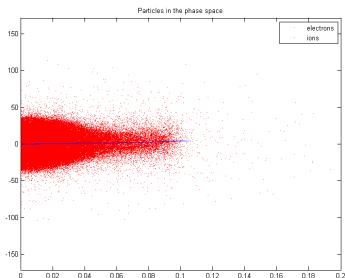
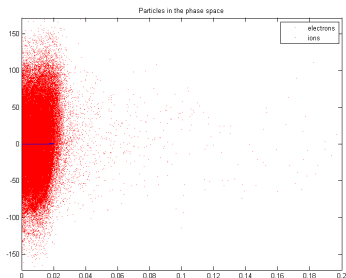
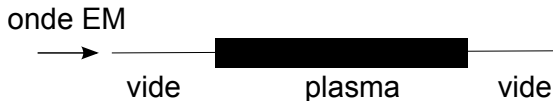


FIGURE: Particules dans l'espace des phases

Un modèle 1D de POS (Plasma Opening Switch)



- Vlasov-Maxwell, schéma préservant l'asymptotique
- 1D en espace, 2D en vitesse
- deux espèces (électrons et ions)

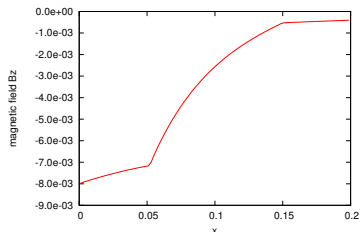
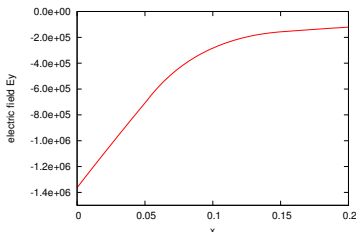


FIGURE: Champs électrique et magnétique (plasma peu dense)

Un modèle 1D de POS (Plasma Opening Switch)

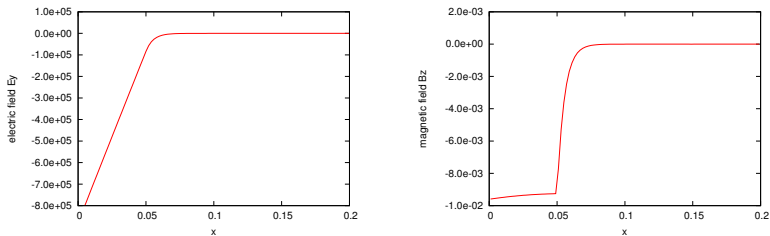


FIGURE: Champs électrique et magnétique (plasma très dense)

- 1 Limite quasi-neutre
- 2 Schéma en temps
- 3 Loi de Gauss
- 4 Simulations numériques
- 5 Perspectives**

Perspectives

- analyse de stabilité
- variantes dans la discrétisation
- éliminer la condition de Courant sur la vitesse des électrons